

اثر پیتید زیست فعال مشتق از ماهی ساردين بر لوله‌های اسپرم‌ساز متعاقب القاء تنش حرارتی در موش صحرایی نر بالغ

مهسا ولی زاده^{*}، وحید نجاتی^۱، علی شالیزار جلالی^۲، ابراهیم حسین نجدگرامی^۱ و غلامرضا نجفی^۲

^۱ ایران، ارومیه، دانشگاه ارومیه، دانشکده علوم، گروه زیست‌شناسی

^۲ ایران، ارومیه، دانشگاه ارومیه، دانشکده دامپزشکی

تاریخ دریافت: ۱۳۹۹/۸/۲۱ تاریخ پذیرش: ۱۳۹۹/۹/۹

چکیده

آسیب ناشی از تنفس حرارتی در بیضه‌ها یکی از علل ناباروری در مردان و اغلب پستانداران محسوب می‌شود. پیتیدهای زیست فعال فعالیت ضد اکسایشی قوی در برابر رادیکال‌های آزاد و گونه‌های اکسیژن فعال دارند. در این مطالعه، ۴۲ سر موش صحرایی نر بالغ به صورت تصادفی به ۶ گروه ۷اتیج شامل: گروه اول: شاهد (دمای ۲۲ درجه سانتی‌گراد)، گروه دوم: پیتید زیست فعال (۱۰ میلی‌گرم بر کیلوگرم وزن بدن به صورت خواراکی، روزانه)، گروه سوم: تحت شوک حرارتی ۴۳ درجه سانتی‌گراد، گروه‌های چهارم، پنجم و ششم تحت شوک حرارتی ۴۳ درجه سانتی‌گراد به همراه تیمار با پیتید زیست فعال با دوز ۵ و ۲۰ میلی‌گرم بر کیلوگرم وزن بدن به صورت خواراکی تقسیم شدند. بعد از اتمام دوره تیمار (۴۵ روز)، بافت بیضه به منظور بررسی‌های بافت-شناسی و بیوشیمیابی جداسازی شد. آسیب‌شناسی بافتی، تخریب بافتی گستردگی را به دنبال القاء تنفس حرارتی در بافت بیضه نشان داد. تنفس حرارتی سبب افزایش معنی‌دار نیتریک اکساید گردید ($P < 0.05$). در موش‌های تحت تنفس حرارتی درمان شده با پیتید زیست فعال دوز ۵ و ۱۰ میلی‌گرم بر کیلوگرم بهبودی مشاهده نشد. تیمار حیوانات با دوز ۲۰ میلی‌گرم بر کیلوگرم آثار هشتگی بر اسپرم‌ماتوژن و ساختار لوله‌های اسپرم‌ساز نشان داد. نتایج بررسی میزان نیتریک اکساید، کاهش این فاکتور بیوشیمی را به دنبال تیمار با پیتید با دوز ۲۰ میلی‌گرم بر کیلوگرم نشان داد ($P < 0.05$). نتایج حاصل از این مطالعه آثار آنتی‌اسیدانتی پیتید زیست فعال مشتق از ماهی ساردين را در شاخص‌های بافتی و بیوشیمی بافت بیضه نشان داد.

واژه‌های کلیدی: تنفس حرارتی، تنفس اکسیداتیو، آنتی‌اسیدانت، دستگاه تولید مثلثی نر، موش صحرایی

* نویسنده مسئول، تلفن: مهسا ولی زاده، ۰۹۰۳۳۷۳۶۶۴۵، پست الکترونیکی: mahsa_valizadeh20@yahoo.com

مقدمه

امروزه بسیاری از عوامل داخلی و خارجی می‌توانند موجب افزایش دمای بافت بیضه شده و روند اسپرم‌ماتوژن طبیعی را بهم بزنند، تنفس حرارتی به عنوان یکی از مشکلات اصلی در باروری مردان مطرح شده و تلاش برای اصلاح آن همچنان ادامه دارد (۱۶). اخیراً یک مطالعه ایپیدمیولوژیک نشان داده است که دمای زیاد محیط اثرات محرکی بر بافت بیضه داشته و منجر به آپویتوز سلول‌های جنسی می‌شود (۱۹). گرما علاوه بر اثرات منفی مختلف بر

به طور کلی، ناباروری در ۱۵ درصد زوجین مشاهده می‌شود که در این میان با توجه به نقش ۴۰ درصدی ناشی از اختلالات مردان، اهمیت بررسی، شناسایی و اصلاح این اختلالات برای کمک به زوجین نابارور امری ضروری به نظر می‌رسد (۳۳). در این راستا، امروزه مشخص شده است که بسیاری از عوامل از جمله تنفس اکسیداتیو (۳۹)، تنفس حرارتی (۴۳) و تنفس نیتروژاتیو (۳۲) می‌توانند منجر به ناباروری در مردان شوند. با توجه به این‌که در زندگی

گذشته، ظرفیت تام آنتی‌اکسیدانتی نقش مهمی در غیرفعال کردن ROS دارد و درمان‌های مختلف آنتی‌اکسیدانتی برای اندام‌های مختلف از جمله بیضه به کار می‌رود (۱۴). علاوه بر این، عوامل آنتی‌اکسیدانتی به عنوان روش‌های درمانی برای مقابله با نارسایی‌های تولیدمثل ناشی از تنش اکسیداتیو معرفی شده‌اند (۱۰).

موجودات دریابی، تقریباً نیمی از کل تنوع زیستی دنیا را تشکیل داده و مخازن غنی از اجزای عملکردی از جمله منبع غنی از پروتئین برای تولید پیتیدهای زیست فعال هستند (۲۲). ماهی‌ها به عنوان منبعی از اسیدهای چرب غیراشبع، پلی‌ساقاریدها، آنتی‌اکسیدانتها و پیتیدهای زیست فعال شناخته شده‌اند (۳۷). پیتیدهای زیست فعال همانند تری‌پیتیدهای به دست آمده از پروتئین‌های ماهی ساردين (۱۱)، مواد ارگانیک تشکیل شده از اسیدهای آمینه هستند که با پیوند کووالانسی (پیوندهای آمیدی یا پیتیدی) به هم متصل می‌شوند و به عنوان قطعاتی از پروتئین‌های خاص، تأثیر مثبتی بر عملکرد و شرایط بدن دارند (۲۷). چرا که این مواد فعالیت هورمونی و دارویی از خود نشان می‌دهند و براساس نحوه عملکرد خود می‌توانند به عنوان ضد میکروب، ضد ترومبوتیک، ضد فشارخون، مواد افیونی، تعديل کننده سیستم ایمنی بدن و آنتی‌اکسیدانت طبقه‌بندی شوند (۹ و ۴۱). پیتیدهای زیست فعال، فعالیت ضد اکسایشی قوی در برابر رادیکال‌های آزاد و سایر گونه‌های اکسیژن فعال دارند. مکانیسمی که پیتیدها از طریق آن اثرات ضد اکسایشی خود را ایفا می‌کنند به طور کامل آشکار نشده است هرچند تحقیقات مختلف نشان می‌دهد که پیتیدها و پروتئین‌های هیدرولیز شده با حذف رادیکال‌های آزاد و شلاته کردن یون‌های فلزی از اکسیداسیون آنزیمی و غیرآنژیمی ممانعت می‌کنند (۱۳ و ۵۱). پتانسیل آنتی‌اکسیدانتی هیدرولیزهای پروتئینی بستگی به ترکیب آمینواسیدها و شکسته شدن ساختار سوم پروتئین‌های والد به کمک آنزیم‌های هیدرولیزی دارد که منجر به افزایش دستری می‌شود.

بافت بیضه، میزان رادیکال‌های آزاد اکسیژن را نیز افزایش می‌دهد (۴۷). تنش حرارتی و به دنبال آن القاء تنش اکسیداتیو در بافت بیضه و رابطه نزدیک بین این دو عامل در مطالعات مختلف بیان شده است (۳۱) که در این راستا، مکانیسم‌های مختلفی برای مقابله با آسیب‌های ناشی از تنش گرمایی بر باروری مردان مورد استفاده قرار گرفته است. براساس گزارشات اخیر، اثرات مضر تنش حرارتی می‌تواند بصورت عمدۀ ناشی از افزایش گونه‌های فعال اکسیژن (ROS) باشد که این گونه‌های فعال اکسیژن خود باعث پراکسیداسیون لبیدی، دناچوره شدن پروتئین‌ها و آسیب DNA می‌شوند (۲۴ و ۱۲).

نیتریک اکساید (NO) به عنوان مولکولی با فعالیت بالا، قابل انتشار و ناپایدار شناخته شده است که در رده‌های سلولی مختلف تولید شده و عملکردۀای مختلفی را بر عهده دارد. در همین راستا نشان داده‌اند که این ماده بر فعالیت دستگاه‌های مختلف بدن از جمله سیستم‌های تولیدمثلی نر و ماده تأثیر گذشته و همچنین نقش آن در آپوپتوز سلول‌های زایا در بیضه به خصوص در اسپرماتوسیت‌های اولیه به اثبات رسیده است (۵۲).

شواهد زیادی نشان می‌دهد که NO در مقادیر کم در انواع فرایندهای تولیدمثل مردان مانند اسپرماتوزن، اسپرمیوژن، حرکت، متابولیسم و ظرفیت اسپرم دخیل است (۳۲) این در حالی است که همبستگی منفی بین سطح NO و تحرك اسپرم، مورفولوژی آن و قطعه‌قطعه شدن DNA گزارش شده است (۴۴).

در حالت فیزیولوژیک، سیستم آنتی‌اکسیدانتی بدن با تکیه بر سد دفاعی آنتی‌اکسیدانتی خارجی و داخلی با تنش اکسیداتیو و اثرات ROS مقابله می‌کند، که آنتی‌اکسیدانت‌های داخلی بدن از جمله سوپراکسید دیسموتاز، کاتالاز و گلوتاتیون پراکسیداز و همچنین آنتی‌اکسیدانت‌های آنزیمی بیرونی همانند توکوفول و ویتامین C این نقش را ایفا می‌کنند (۵۰). طبق گزارشات

یک‌سوم قسمت تحتانی بدن در حمام آب گرم به مدت ۲۰ دقیقه قرار گرفت. موش‌ها به صورت تصادفی به ۶ گروه ۷ تایی تقسیم شدند. گروه اول به عنوان گروه شاهد روزانه ۲۰ دقیقه در حمام آب گرم با دمای ۲۲ درجه سانتی‌گراد قرار گرفت، در حالی که گروه دوم، گروه پیتید زیست فعال، روزانه ۱۰ میلی‌گرم بر کیلوگرم پیتید زیست فعال به صورت گاواز دریافت کرد (۳). گروه سوم، گروه تحت شوک حرارتی ۴۳ درجه سانتی‌گراد روزانه به مدت ۲۰ دقیقه در حمام آب گرم قرار گرفت. گروه چهارم، پنجم و ششم نیز یک ساعت بعد از القاء شوک حرارتی (۴۳ درجه سانتی-گراد به مدت ۲۰ دقیقه در حمام آب گرم)، به ترتیب پیتید زیست فعال با دوز ۵ میلی‌گرم بر کیلوگرم، ۱۰ میلی‌گرم بر کیلوگرم و ۲۰ میلی‌گرم بر کیلوگرم به ازای هر کیلوگرم وزن بدن به صورت خوراکی (گاواز) دریافت کردند. بعد از اتمام دوره تیمار ۴۵ روزه، حیوانات به منظور بررسی میزان وزن بدن توزین شدند. موش‌ها با زایلازین به میزان ۱۰ میلی‌گرم به ازای هر کیلوگرم و کتابین به میزان ۱۰۰ میلی‌گرم به ازای هر کیلوگرم وزن بدن بیهوده و سپس با جابجایی مهره‌های گردنی کشته شدند. برای انجام بررسی‌های بافتی و بیوشیمیایی، بیضه‌ها از بدن حیوانات جداسازی شده و بعد از وزن‌کشی بیضه‌ها، بیضه چپ برای تهیه مقاطع بافت‌شناسی به فرمالین ۱۰ درصد و بیضه راست جهت اندازه‌گیری میزان NO بافتی، به فریزر -۷۰ درجه سانتی‌گراد انتقال یافت. متعاقب ۷۲ ساعت، بیضه‌های فیکس شده، پاساژ روتین بافتی شده و قالب‌های پارافینه از آنها تهیه شد. در ادامه، برای بررسی‌های بافتی مقاطعی با ضخامت ۵ میکرون از قالب‌های پارافینه تهیه و از رنگ‌آمیزی هماتوکسیلین-ائوزین (H&E) برای رنگ‌آمیزی مقاطعی استفاده شد. به منظور ارزیابی قطر لوله‌های اسپرم‌ساز به صورت تصادفی انتخاب شدند و قطر کوچک و قطر بزرگ لوله‌ها با استفاده از عدسی مدرج چشمی اندازه‌گیری شد. پس از اندازه‌گیری، عدد حاصل در ضرب

بعضی از این ترکیبات، فعالیت فوق‌العاده‌ای را در پاکسازی رادیکال‌های آزاد و غیرفعال کردن یون سوپراکسید دارا می‌باشند که نشان دهنده فعالیت آنتی‌اکسیدانتی بالای این پیتیدها می‌باشد (۱۸).

باتوجه به اثرات بالقوه و متعدد پیتید زیست فعال مشتق از ماهی ساردينین به ویژه اثرات آنتی‌اکسیدانتی آن، در مطالعه حاضر از این ماده جهت مقابله با اثرات زیان‌بار ناشی از تنفس حرارتی استفاده گردید. در این راستا، بافت بیضه‌ی موش‌های صحرایی پس از پروسه القا تنفس حرارتی و درمان با پیتید زیست فعال، از نظر تغییرات لوله‌های اسپرم-ساز و بیوشیمیایی مورد ارزیابی قرار گرفت.

مواد و روشها

برای انجام این تحقیق، ۴۲ سر موش صحرایی نر بالغ (۲۰ ± ۱۸۰ گرم) از خانه حیوانات دانشکده علوم دانشگاه ارومیه تهیه شد. به منظور سازگاری حیوانات با شرایط محیطی، حیوانات در شرایط غذایی بدون محدودیت، تحت چرخه ۱۲ ساعت روشنایی و ۱۲ ساعت تاریکی و در دمای محیط ۲۲ درجه سانتی‌گراد به مدت ۱۴ روز قرار گرفتند. پیتید زیست فعال بکار برده شده در این مطالعه از تخمیر ماهی ساردينین (*Sardinella sp.*) در کنار نمک تهیه گردید. به منظور استخراج پیتید مورد نظر، محلول تخمیر شده به وسیله یک دستگاه خشک‌کن انجام‌دادی خشک گردید و با همزن الکتریکی، ۱ قسمت پودر خشک‌شده با ۵ قسمت آب مقطمر در دمای ۳۰ درجه سانتی‌گراد به مدت ۱,۵ ساعت در حمام آبی مخلوط شدند. سپس، مخلوط به دست آمدۀ با دوره ۱۰۰۰۰ به مدت ۱۵ دقیقه در دمای ۴ درجه سانتی‌گراد سانتریفیوژ گردید و محلول رویی به منظور به دست آوردن عصاره پیتیدی شفاف به وسیله کاغذ و اتمن فیلتر شد. در انتهای کار، عصاره پیتیدی به وسیله خشک‌کن انجام‌دادی خشک گردیده و در دمای ۱۸ - ۲۰ درجه سانتی‌گراد نگهداری شد. برای ایجاد شوک حرارتی، در طول دوره تیمار (۴۵ روز)،

ضریب میوزی (MI) نسبت تعداد اسپرماتیدهای گرد به اسپرماتوسیت‌های اولیه مشخص گردید (۴۶).

سلول‌های لیدیگ در بافت بینایی و به صورت گروهی دیده می‌شود. همچنین دارای هسته گرد و با موقعیت مرکزی به همراه یک یا دو هستک می‌باشد. برای شمارش این سلول‌ها از عدسی مشبك چشمی استفاده شد و تعداد سلول‌های لیدیگ در یک میلی‌متر از بینایی می‌باشد. براساس فراسنجه‌های زیر نمره ۱ تا ۱۰ تعلق گرفت.

مخصوص که برای هر عدسی شیئی متفاوت است ضرب شد و اندازه نهایی بر حسب میکرومتر محاسبه گردید. در ادامه، به منظور تعیین ضریب تمایز لوله‌ای (TDI) درصد لوله‌های اسپرم‌سازی که بیشتر از سه رده سلولی اسپرماتوژن‌تمایز یافته از سلول‌های اسپرماتوگونی و سایر سلول‌های رده اسپرماتوژن داشتند به عنوان لوله‌های TDI مثبت، محاسبه گردید (۸). همچنین، درصد لوله‌های اسپرم‌سازی (SPI) که در یک مرحله و در حال اسپرم‌میوزن (مرحله ۷ و ۸ اسپرماتوژن) بودند، ارزیابی گردید (۲۵). در ادامه، به منظور محاسبه ضریب سلول سرتولی (SCI)، نسبت تعداد سلول‌های زایا به تعداد سلول‌های سرتولی مشخص گردید (۳۶). به منظور محاسبه

جدول ۱- ارزیابی بلوغ اسپرماتوژن با استفاده از ضریب جانسن

لوله‌ها آتروفیک، عدم وجود سلول زایا و سرتولی (۲۳).	1
عدم وجود سلول زایا، حضور سلول سرتولی	2
فقط اسپرماتوگونی دیده می‌شود	3
تعداد کم اسپرماتوسیت اولیه	4
اسپرماتید گرد کم	6
لوله خالی از اسپرم، وجود اسپرماتید گرد زیاد	7
اسپرم خیلی کم	8
اسپرم زیاد، حفره میانی نامنظم	9
اسپرماتوژن کامل	10

میانگین \pm انحراف معیار بیان گردید و مقدار $P<0.05$ معنی‌دار در نظر گرفته شد.

نتایج

بررسی‌های میانگین وزن بدن حیوانات در پایان مطالعه تفاوت معنی‌داری را در هیچ‌یک از گروه‌ها نشان نمی‌داد. این در حالی است که میانگین وزن بیضه، پس از اتمام تیمار در گروه تحت تنش حرارتی ۴۳ درجه سانتی‌گراد نسبت به گروه کنترل ($P<0.01$) و پیتید زیست فعال (P<0.05) نشان دهنده کاهش معنی‌داری بود (جدول ۱). گروه‌های دریافت‌کننده پیتیدزیست‌فعال با دوز ۵ و ۱۰

روش‌های مختلفی برای اندازه‌گیری نیتریک اکساید (NO) در سیستم‌های بیولوژیکی طراحی شده است که یکی از روش‌ها شامل استفاده از واکنش دیونیزه کردن و تشخیص با اسپکتوفوتومتری است که نیتریت تولید شده توسط اکسیداسیون NO تحت شرایط فیزیولوژیکی را می‌سنجد. برای اندازه‌گیری NO از کیت سنجش نیتریک اکساید (Navand salamat,Urmia,Iran) استفاده شد. مقایسه تمامی داده‌ها در بین گروه‌ها توسط نرم‌افزار (SPSS Version 24.00)، آزمون ANOVA یک‌طرفه و سپس آزمون Duncan صورت پذیرفت. تمامی داده‌ها براساس

مقایسه با گروه کنترل است. گروه‌های تحت تنش حرارتی درجه سانتی گراد + دریافت کننده پپتید زیست فعال ۵ و ۱۰ میلی گرم بر کیلوگرم نیز کاهش معنی دار ($P<0.05$) را نسبت به گروه کنترل نشان می‌دهند. این در حالی است که، گروه تحت تنش حرارتی درجه سانتی گراد + دوز ۲۰ میلی گرم بر کیلوگرم پپتید زیست فعال توانست افزایش معنی داری ($P<0.05$) را در مقایسه با گروه تحت تنش حرارتی ایجاد نماید. این گروه نیز نسبت به گروه کنترل اختلاف معنی داری را نشان داد ($P<0.05$) (جدول ۱).

میلی گرم بر کیلوگرم به همراه تنش حرارتی ۴۳ درجه سانتی گراد در مقایسه با گروه تحت تنش حرارتی، اختلاف معنی داری ($P<0.05$) در وزن بیضه نداشتند اما نسبت به گروه کنترل کاهش معنی دار ($P<0.05$) را نشان دادند. در گروه ۴۳ درجه سانتی گراد به همراه پپتید زیست فعال با دوز ۲۰ میلی گرم بر کیلوگرم، وزن بیضه افزایش معنی داری ($P<0.05$) نسبت به گروه تحت تنش حرارتی ۴۳ درجه سانتی گراد و همچنین گروه کنترل داشت. نتایج حاصل از بررسی نسبت وزن بیضه بر کل وزن بدن، حاکی از کاهش معنادار ($P<0.01$) در گروه تحت تنش حرارتی ۴۳ درجه سانتی گراد در

جدول ۲- تأثیر استرس حرارتی و پپتید زیست فعال بر وزن بدن و بیضه. مقدار به صورت میانگین \pm انحراف معیار بیان شده است. حروف نامتشابه بیانگر اختلاف معنی دار در سطح ($P<0.05$) بین گروه‌های مختلف است.

Group	BW before treatment (gr)	BW after treatment (gr)	TW (gr)	TW /BW (gr)
control	172.71 \pm 11.32 ^a	205.00 \pm 21.43 ^a	1.433 \pm 0.144 ^a	0.0070 \pm 0.0001 ^a
peptide	172.14 \pm 8.95 ^a	204.43 \pm 21.45 ^a	1.409 \pm 0.064 ^a	0.0069 \pm 0.0005 ^a
43°C	171.57 \pm 14.03 ^a	198.43 \pm 10.34 ^a	0.349 \pm 0.052 ^b	0.0018 \pm 0.0002 ^{b,c}
43°C+5mg/kg	170.14 \pm 16.52 ^a	204.14 \pm 13.22 ^a	0.317 \pm 0.021 ^b	0.0015 \pm 0.0002 ^b
43°C+10mg/kg	171.14 \pm 8.84 ^a	202.71 \pm 12.63 ^a	0.379 \pm 0.031 ^b	0.0019 \pm 0.0001 ^c
43°C+20mg/kg	171.57 \pm 15.93 ^a	205.14 \pm 10.22 ^a	0.483 \pm 0.035 ^c	0.0023 \pm 0.0002 ^d

TW: Testis Weight(وزن بیضه)

BW: Body Weight(وزن بدن)

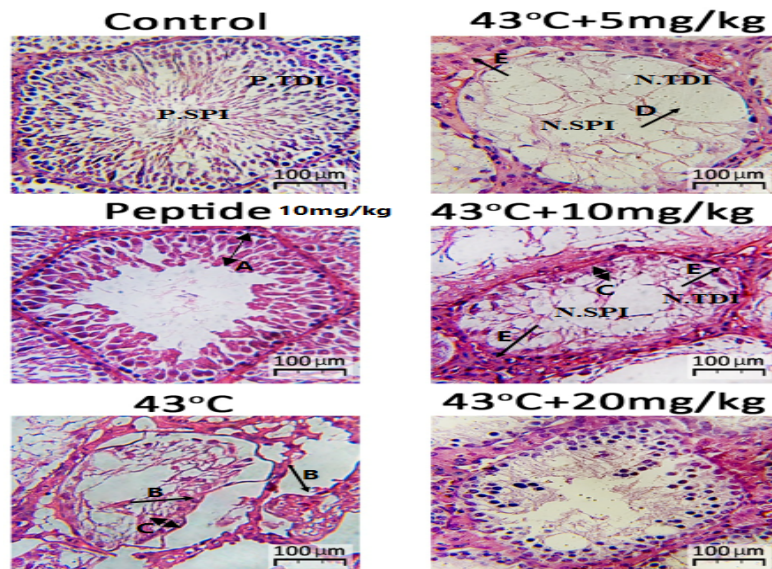
حرارتی به دلیل آسیب شدید بافتی، تغییر بارزی در جهت بهبودی دیده نشد. اما گروه تیمار شده با پپتید زیست فعال با دوز ۲۰ میلی گرم بر کیلوگرم بعد از القای تنش حرارتی بهبودی معنی داری ($P<0.05$) را نسبت به گروه تحت تنش حرارتی درجه سانتی گراد نشان می‌دهد (شکل ۱).

در همین راستا، ارزیابی‌های مورفومنتریک اثبات کرد که قطر لوله‌های اسپرم‌ساز و ضخامت اپیتلیوم زایا در گروه تحت حرارتی ۴۳ درجه سانتی گراد و دو گروه ۴۳ درجه سانتی گراد + پپتید زیست فعال با دوز ۵ و ۱۰ میلی گرم بر کیلوگرم کاهش معنی داری ($P<0.05$) نسبت به گروه کنترل دارند. گروه تحت تنش حرارتی ۴۳ درجه سانتی گراد درمان شده با پپتید زیست فعال با دوز ۲۰ میلی گرم بر

بررسی‌های بافت بیضه نشان داد که ساختار لوله‌های اسپرم‌ساز و اپیتلیوم زایا در گروه‌های کنترل دارای ساختار طبیعی است. در گروه پپتید زیست فعال نیز آسیب جزئی نسبت به گروه کنترل مشاهده شد. در بیضه‌ی موش‌های گروه تحت تنش حرارتی ۴۳ درجه سانتی گراد، گروه‌های تنش حرارتی + پپتید با دوز ۵ و ۱۰ میلی گرم بر کیلوگرم، افزایش لوله‌های اسپرم‌ساز آتروفی شده، کاهش ارتفاع اپیتلیوم زایا، واکوئله شدن لوله‌ها، التهاب تونیکا آلبوزینه، پرخونی عروق و ادم بافتی مشاهده گردید. کاهش ارتفاع اپیتلیوم زایا در گروه پپتید زیست فعال با دوز ۱۰ میلی گرم بر کیلوگرم نیز دیده شد. در گروه‌های دریافت کننده پپتید زیست فعال دوز ۵ و ۱۰ میلی گرم بر کیلوگرم تحت تنش

است. بررسی ضخامت اپیتیلیوم در گروه پیتید زیست فعال نیز نسبت به گروه کنترل اختلاف معنی‌داری را نشان می‌دهد ($P<0.05$) (جدول ۲).

کیلوگرم افزایش معنی‌داری ($P<0.05$) در مقایسه با گروه تنش حرارتی ۴۳ درجه سانتی‌گراد دارد. اختلاف بین گروه ۴۳ درجه سانتی‌گراد + پیتید زیست فعال ۲۰ میلی‌گرم بر کیلوگرم نسبت به گروه کنترل نیز معنی‌دار ($P<0.05$) بوده



شکل ۱- مقطع عرضی بافت بیضه در موش صحرایی نر. (رنگ آمیزی هماتوکسیلین- انوزین). گروه کنترل: ساختار طبیعی بافت بیضه را نشان می‌دهد، همچنین قطر لوله‌های اسperm‌ساز، ضخامت اپیتیلیوم زیاد و مقدار بافت همبند بینابینی طبیعی است. گروه پیتید ۱۰ میلی‌گرم بر کیلوگرم وزن بدن: A. ضخامت اپیتیلیوم زیاد کاهش را نشان می‌دهد. گروه‌های ۴۳ درجه سانتی‌گراد + پیتید با دوز ۵ و ۱۰ میلی‌گرم بر کیلوگرم: B. لوله‌های اسperm‌ساز آتروفی شده، C. کاهش ارتفاع اپیتیلیوم زیاد، D. ادام باقی در این سه گروه مشاهده می‌شود. گروه ۴۳ درجه سانتی‌گراد + پیتید با دوز ۲۰ میلی‌گرم بر کیلوگرم: ساختار بافتی طبیعی می‌باشد. ادم بینابینی کاهش یافته، فرایند اسpermatoژن نیز به حالت طبیعی بازگشته است.

سانتی‌گراد + پیتید زیست فعال با دوز ۵ و ۱۰ میلی‌گرم بر کیلوگرم در مقایسه با گروه کنترل مشاهده شد. بررسی‌ها نشان داد که اختلاف معنی‌داری بین گروه‌های ۴۳ درجه سانتی‌گراد + پیتید زیست فعال با دوز ۵ و ۱۰ میلی‌گرم بر کیلوگرم با گروه تحت تنش ۴۳ درجه سانتی‌گراد وجود ندارد. اما اختلاف معنی‌داری ($P<0.05$) بین دو گروه ۴۳ درجه سانتی‌گراد و ۴۳ درجه سانتی‌گراد + پیتید زیست فعال با دوز ۲۰ میلی‌گرم بر کیلوگرم دیده می‌شود. مابین دو گروه تنش حرارتی ۴۳ درجه سانتی‌گراد + پیتید زیست فعال با دوز ۲۰ میلی‌گرم بر کیلوگرم با گروه کنترل نیز اختلاف معنی‌داری ($P<0.05$) مشاهده می‌شود (شکل ۲).

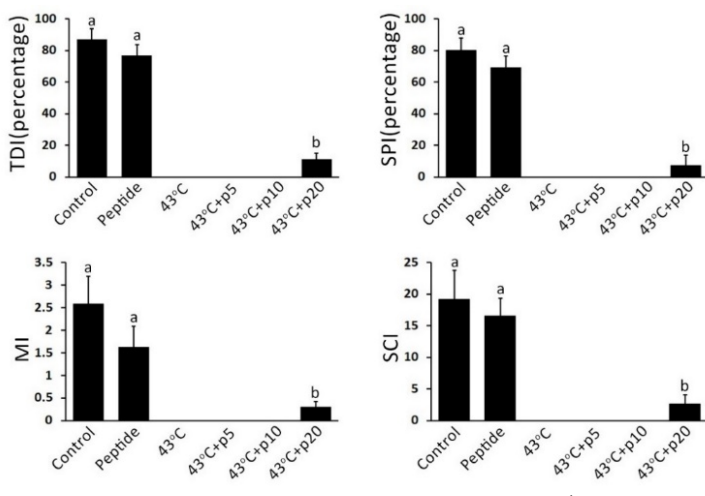
جدول ۳- تأثیر استرس حرارتی و پیتید زیست فعال بر پارامترهای مورفومنتریک در موش صحرایی نر بالغ. مقدار به صورت میانگین \pm انحراف معیار بیان شده است. حروف نامشابه بیانگر اختلاف معنی‌دار در سطح ($P<0.05$) بین گروه‌های مختلف است

Group	Sperm tubular diameter (μm)	Epithelium thickness (μm)
control	131.20 \pm 8.60 ^a	42.62 \pm 7.87 ^a
peptide	130.70 \pm 10.66 ^a	40.99 \pm 6.82 ^b
43°C	64.48 \pm 5.89 ^b	2.49 \pm 1.11 ^c
43°C+5mg/kg	68.16 \pm 8.35 ^c	2.83 \pm 1.27 ^c
43°C+10mg/kg	69.98 \pm 9.04 ^c	2.96 \pm 1.15 ^c
43°C+20mg/kg	72.86 \pm 5.43 ^d	4.76 \pm 2.25 ^d

در بررسی ضریب تمایز لوله‌ای مثبت، کاهش معنی‌داری ($P<0.05$) در تعداد لوله‌های با ضریب تمایزی مثبت در گروه‌های تنش حرارتی ۴۳ درجه سانتی‌گراد، ۴۳ درجه

سرتولی نسبت به گروه تنش حرارتی مشاهده نشده است. در گروه ۴۳ درجه سانتی گراد + پپتید زیست فعال با دوز ۲۰ میلی گرم بر کیلوگرم افزایش معنی داری ($P<0.05$) در ضریب سلول سرتولی نسبت به گروه تنش حرارتی مشاهده شد. این گروه اختلاف معنی داری را نسبت به گروه کترل نیز نشان می دهد ($P<0.05$) (شکل ۲). نتایج حاصل از بررسی ضریب میوزی نشان می دهد که تنش حرارتی سبب کاهش معنی دار ($P<0.05$) ضریب میوزی در گروه های تحت تنش حرارتی ۴۳ درجه سانتی گراد، ۴۳ درجه سانتی گراد تیمار شده با پپتید زیست فعال با دو دوز ۵ و ۱۰ میلی گرم بر کیلوگرم نسبت به گروه کترل شده است. مابین گروه های پپتید زیست فعال با دوز ۵ و ۱۰ میلی گرم بر کیلوگرم با گروه تنش حرارتی ۴۳ درجه سانتی گراد اختلاف معنی داری ($P<0.05$) مشاهده نگردید. گروه ۴۳ درجه سانتی گراد + پپتید زیست فعال با دوز ۲۰ میلی گرم بر کیلوگرم افزایش معنی داری ($P<0.05$) را نسبت به گروه ۴۳ درجه سانتی گراد نشان می داد. گروه ۴۳ درجه سانتی گراد تیمار شده با پپتید با دوز ۲۰ میلی گرم بر کیلوگرم اختلاف معنی داری ($P<0.05$) را نسبت به گروه کترل نشان می دهد (شکل ۲).

لوله هایی با ضریب اسپر میوزن منفی و کاهش درصد لوله هایی با ضریب مثبت گردیده است. نتایج حاصل نشان داد که ضریب اسپر میوزن در گروه های ۴۳ درجه سانتی گراد، ۴۳ درجه سانتی گراد دریافت کننده پپتید زیست فعال با دو دوز ۵ و ۱۰ میلی گرم بر کیلوگرم کاهش معنی داری ($P<0.05$) را نسبت به گروه کترل دارند. این در حالی است که، گروه های ۴۳ درجه سانتی گراد + پپتید زیست فعال با دوز ۵ و ۱۰ میلی گرم بر کیلوگرم اختلاف معنی دار نسبت به گروه تنش حرارتی ۴۳ درجه را نشان نمی دهد. اما گروه ۴۳ درجه سانتی گراد تیمار شده با پپتید زیست فعال با دوز ۲۰ میلی گرم بر کیلوگرم افزایش معنی داری ($P<0.05$) را نسبت به گروه تحت تنش ۴۳ درجه سانتی گراد نشان می دهد، همچنین این گروه اختلاف معنی داری را نسبت به گروه کترل نشان می دهد ($P<0.05$) (شکل ۲). ضریب سلول سرتولی در گروه های تنش حرارتی ۴۳ درجه سانتی گراد، ۴۳ درجه سانتی گراد + پپتید زیست فعال با دو دوز ۵ و ۱۰ میلی گرم بر کیلوگرم کاهش معنی داری ($P<0.05$) در مقایسه با گروه کترل نشان می دهنند. در گروه های ۴۳ درجه سانتی گراد + پپتید زیست فعال با دوز ۵ و ۱۰ اختلاف معنی داری ($P<0.05$) در ضریب سلول



شکل ۲- تأثیر استرس حرارتی و پپتید زیست فعال بر فعالیت های اسپر ماتوژن

TDI: ضریب تمايز لوله‌ای، SPI: ضریب اسپر میوزن، MI: ضریب میوزی، SCI: ضریب سلول سرتولی. مقدار به صورت میانگین \pm انحراف معیار بیان شده است. حروف نامشابه بیانگر اختلاف معنی دار در سطح ($P<0.05$) بین گروه های مختلف است.

داد. این در حالی است که در گروه تنفس حرارتی + پپتید زیست فعال با دوز ۲۰ میلی‌گرم بر کیلوگرم نسبت به گروه ۴۳ درجه سانتی‌گراد اختلاف مشاهده می‌شود اما این اختلاف معنی‌دار نیست. گروه تحت تنفس ۴۳ درجه تیمار شده با پپتید ۲۰ میلی‌گرم بر کیلوگرم نسبت به گروه کنترل اختلاف معنی‌دار را نشان می‌دهد ($P<0.05$). در بررسی میانگین تعداد سلول‌های لیدیگ در گروه ۴۳ درجه سانتی‌گراد و گروه‌های تحت تنفس حرارتی + پپتید زیست فعال با دوز ۵ و ۱۰ میلی‌گرم بر کیلوگرم نسبت به گروه کنترل کاهش معنی‌دار ($P<0.05$) مشاهده گردید. گروه ۴۳ درجه سانتی‌گراد + پپتید زیست فعال با دوز ۲۰ میلی‌گرم بر کیلوگرم افزایش معنی‌داری ($P<0.05$) نسبت به گروه تنفس حرارتی نشان می‌دهد. اختلاف معنی‌داری ($P<0.05$) بین دو گروه تنفس حرارتی ۴۳ + پپتید زیست فعال با دوز ۲۰ میلی‌گرم بر کیلوگرم و کنترل نیز وجود دارد (جدول ۳).

نتایج حاصل از شمارش سلول‌های زایا نشان داد که میانگین تعداد سلول‌های اسپرماتوگونی، اسپرماتوسیت اولیه و اسپرماتید در یک میلی‌متر مربع در گروه‌های ۴۳ درجه سانتی‌گراد و ۴۳ درجه سانتی‌گراد دریافت کننده پپتید زیست فعال با دو دوز ۵ و ۱۰ میلی‌گرم بر کیلوگرم کاهش معنی‌داری ($P<0.05$) را در مقایسه با گروه کنترل داشتند. بررسی رده‌های سلولی گروه پپتید زیست فعال با دوز ۲۰ میلی‌گرم بر کیلوگرم افزایش معنی‌داری ($P<0.05$) را نسبت به گروه تنفس حرارتی نشان داد. مابین گروه ۴۳ درجه سانتی‌گراد + پپتید ۲۰ میلی‌گرم بر کیلوگرم با گروه کنترل نیز اختلاف معنی‌داری مشاهده شد ($P<0.05$). همچنین، میانگین تعداد سلول‌های سرتولی در یک میلی‌متر مربع در گروه تنفس حرارتی ۴۳ درجه سانتی‌گراد و گروه‌های تحت تنفس ۴۳ درجه سانتی‌گراد دریافت کننده پپتید زیست فعال با دو دوز ۵ و ۱۰ میلی‌گرم بر کیلوگرم نسبت به گروه کنترل کاهش معنی‌داری ($P<0.05$) را نشان

جدول ۴- مقایسه میانگین تعداد سلول‌های اسپرماتوژنیک، سرتولی و لیدیگ در گروه‌های مختلف آزمایشی

Group	Spermatogonia	Spermatocyte	Spermatid	Sertoli	Lydig
control	56.12±8.79 ^a	89.71±16.01 ^a	285.71±49.35 ^a	16.99±3.09 ^a	8.23±2.26 ^a
peptide	41.19±14.22 ^b	67.56±12.32 ^b	208.41±30.15 ^b	16.80±3.25 ^{a,b}	6.87±1.96 ^b
43°C	0.22±0.61 ^c	0.00±0.00 ^c	0.00±0.00 ^c	15.56±2.50 ^c	4.10±0.97 ^c
43°C+5mg/kg	0.23±0.65 ^c	0.00±0.00 ^c	0.00±0.00 ^c	15.54±2.90 ^c	4.01±1.43 ^c
43°C+10mg/kg	0.50±1.41 ^c	0.00±0.00 ^c	0.00±0.00 ^c	15.93±2.94 ^{b,c}	4.30±0.94 ^c
43°C+20mg/kg	30.31±8.25 ^d	0.93±1.88 ^c	38.09±7.58 ^d	16.02±2.77 ^{b,c}	6.22±1.23 ^d

مقدار به صورت میانگین \pm انحراف معیار بیان شده است. حروف نامشابه بیانگر اختلاف معنی‌دار در سطح ($P<0.05$) بین گروه‌های مختلف است

پپتید زیست فعال با دوز ۲۰ میلی‌گرم بر کیلوگرم، افزایش معنی‌داری در ($P<0.05$) بهبود اسپرماتوژنر در مقایسه با گروه تنفس حرارتی مشاهده گردید. اختلاف معنی‌دار درمان شده با دوز ۲۰ میلی‌گرم بر کیلوگرم نیز مشاهده شد (شکل ۳).

نتایج مربوط به ارزیابی بلوغ اسپرماتوژنر با استفاده از شاخص جانسن مشخص نمود که در گروه تنفس حرارتی ۴۳ درجه سانتی‌گراد و گروه‌های تنفس حرارتی ۴۳ درجه سانتی‌گراد + پپتید زیست فعال با دوز ۵ و ۱۰ میلی‌گرم بر کیلوگرم کاهش معنی‌دار ($P<0.05$) در شاخص جانسن نسبت به گروه کنترل وجود دارد. در گروه تنفس حرارتی +

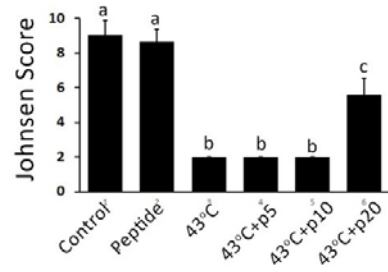
اکساید در موش صحرایی نر

مقدار بهصورت میانگین \pm انحراف معیار بیان شده است. حروف نامشابه بیانگر اختلاف معنی دار در سطح ($P < 0.05$) بین گروه‌های مختلف است

بحث و نتیجه‌گیری

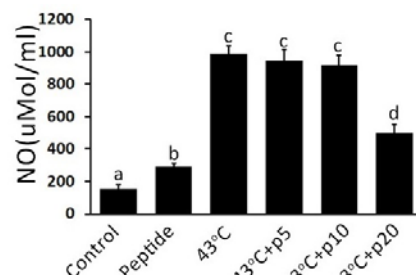
در این مطالعه کاهش چشمگیر وزن بیضه به دنبال القاء یک دوره ۴۵ روزه تنش حرارتی در مقایسه با گروه کنترل مشاهده شد. این کاهش وزن و حجم بیضه به دلیل آپوپتوز در سلول‌های جنسی حساس به دما با فعالیت میوزی بالا (۳۱)، تنش اکسیداتیو و فعال شدن کاسپاز ۳ (عامل آپوپتوز) (۲۹) اتفاق می‌افتد و این کاهش معنی دار وزن با مطالعات قبلی تأثیر تنش حرارتی در انسان و حیوانات در یکسو قرار دارد (۲۰، ۲۳، ۲۶ و ۲۸). درمان با کورکومین (۳۰) و ویتامین E (۴۲) به عنوان آنتیاکسیدانت موجب افزایش وزن بیضه و درنتیجه بیانگر نقش درمانی این دو ماده آنتیاکسیدانت در مقابله با تنش حرارتی بوده است. در مطالعه حاضر استفاده از پپتید زیست فعال نیز به عنوان ماده‌ای با خاصیت آنتیاکسیدانتی، افزایش معنی دار در وزن بیضه را در گروه دریافت کننده این ماده با دوز ۲۰ میلی‌گرم بر کیلوگرم وزن بدن نشان داد. در حالی که تیمار حیوانات با دو دوز ۵ و ۱۰ میلی‌گرم بر کیلوگرم پپتید زیست فعال تأثیر مثبتی در جهت بهبودی نشان نداد. استفاده مستمر از پپتید زیست فعال استرس ریداکتیو را به دنبال دارد یکی از علل مشاهده آسیب در گروه پپتید زیست فعال است.

تکیه بر مطالعات پیشین نشان می‌دهد که، بافت بیضه یک سیستم بیولوژی متأثر از دما است که به دنبال افزایش دما تغییرات مورفولوژی و مولکولی زیادی در سلول‌های جنسی آن اتفاق می‌افتد که باعث اختلال روند اسپرماتوژنی و درنتیجه آزواسپرمی می‌شود (۱۵). همچنین، اخیراً یک مطالعه پژوهشی نشان داده است که بافت بیضه در بین حیوانات مختلف و سویه‌های متعدد یک‌گونه از نظر



شکل ۳- تأثیر استرس حرارتی و پپتید زیست فعال بر شاخص جانسن مقدار بهصورت میانگین \pm انحراف معیار بیان شده است. حروف نامشابه بیانگر اختلاف معنی دار در سطح ($P < 0.05$) بین گروه‌های مختلف است.

بررسی بیوشیمیایی مربوط به سنتز نیتریک اکساید (NO) به دنبال القای تنش حرارتی نشان داد که حرارت ۴۳ درجه سانتی‌گراد سبب افزایش معنی دار ($P < 0.05$) سنتز نیتریک اکساید در مقایسه با گروه کنترل می‌شود. این کاهش معنی دار ($P < 0.05$) در دو گروه تحت تنش حرارتی ۴۳ درجه سانتی‌گراد درمان شده با پپتید با دو دوز ۵ و ۱۰ میلی‌گرم بر کیلوگرم نیز نسبت به گروه کنترل مشاهده می‌شود. تیمار با پپتید زیست فعال با دوز ۵ و ۱۰ میلی‌گرم بر کیلوگرم بعد از القای تنش حرارتی ۴۳ درجه سانتی‌گراد، اختلاف معنی داری ($P < 0.05$) را نسبت به گروه ۴۳ درجه سانتی‌گراد نشان نمی‌داد. درحالی که در گروه ۴۳ درجه سانتی‌گراد + پپتید زیست فعال با دوز ۲۰ میلی‌گرم بر کیلوگرم کاهش معنی دار ($P < 0.05$) در مقایسه با گروه تنش حرارتی مشاهده گردید. بین دو گروه تنش حرارتی ۴۳ درجه سانتی‌گراد درمان شده با پپتید با دوز ۲۰ میلی‌گرم بر کیلوگرم و گروه کنترل نیز اختلاف معنی داری ($P < 0.05$) مشاهده شد (شکل ۴).



شکل ۴- تأثیر استرس حرارتی و پپتید زیست فعال بر میزان نیتریک

با مطالعات پیشین نشانگر کاهش قابل توجه قطر لوله‌ها، کاهش ضخامت اپتیلیوم زایا در لوله‌های اسپرم‌ساز بیضه است (۲۳).

از طرفی، در مطالعه حاضر بررسی برش‌های بافتی نشان داد که تنش حرارتی به تهابی موجب کاهش ضربت تمایز اسپرم‌میوژن، میوزی، سلول‌های سرتولی و شاخص جانسن می‌شود. این در حالی است که پیتید زیست فعال با دوز ۲۰ میلی‌گرم بر کیلوگرم توانسته است به مقدار قابل توجهی از این روند تخربی جلوگیری نماید. در همین راستا، نشان داده شده است که مواد با خاصیت آنتی‌اکسیدانتی توانایی بسیار زیادی برای مقابله با تنش اکسیداتیو ناشی از حرارت داشته و با جلوگیری از پراکسیداسیون لبیدی، آسیب پروتئین‌ها و DNA در مقابل تنش حرارتی، سلول‌های جنسی و در رأس آنها اسپرم‌اتوگونی‌ها را حفظ می‌کنند (۳۸). با توجه به اینکه، مطالعات پیشین خاصیت آنتی-اکسیدانتی پیتیدهای استخراج شده از پروتئین‌های ماهی را ثابت می‌کند (۳۵)، پیتید زیست فعال استخراج شده از مارماهی با خاصیت آنتی‌اکسیدانتی، می‌تواند از اثرات تخربی رادیکال‌های آزاد در بافت بیضه جلوگیری کند. از طرفی، با توجه به اینکه دو دوز پایین تجویز شده اثرات مشتبه را در جهت بهبودی شاخص‌های بافتی نشان ندادند، مقایسه دوزهای مختلف پیتید زیست فعال مشتق از ماهی ساردين در این مطالعه نشان دهنده اثرات مثبت دوز ۲۰ میلی‌گرم بر کیلوگرم این ماده به دلیل خاصیت آنتی-اکسیدانتی بالا بر آسیب‌های ناشی از تنش حرارتی بافت بیضه است. تنش گرمایی با افزایش ROS و سرکوب بیان ژن‌های در ارتباط با مکانیسم‌های دفاعی در برابر آسیب DNA، باعث آسیب DNA در سلول‌های جنسی می‌شود. همچنین، نیتریک اکساید به عنوان یکی از رادیکال‌های آزاد به شمار می‌رود و از طرفی تنش حرارتی منجر به تنش اکسیداتیو شده و از طریق تولید رادیکال‌های آزاد همانند NO₂ و سایر گونه‌های فعال اکسیژن به سلول‌ها و بافت‌ها آسیب می‌رساند. آسیب DNA ناشی از تنش بر

حساسیت به دما، تفاوت‌های قابل توجهی دارد که به نظر می‌رسد به دلیل اختلاف در توانایی حیوانات در حفظ دمای بیضه و اختلاف در حساسیت سلول‌های زایا در گونه‌های مختلف نسبت به تنش حرارتی باشد (۴۲). بعلاوه، در مطالعات دیگر نشان داده شده است که بیشترین اثرات تنش حرارتی در اسپرم‌اتوگونی‌های اولیه در مرحله پاکی تن (۴) و اسپرم‌اتوگونی‌های گرد اتفاق می‌افتد (۴۲) که در صورت افزایش تنش سایر سلول‌ها نیز مستعد مرگ هستند (۲۹). با افزایش درجه حرارت، علاوه بر اسپرم‌اتوگونی، اسپرم‌اتوگونی و اسپرم، اسپرم‌اتوگونی‌ها مقاوم‌ترین رده سلولی (نیز تحت تأثیر قرار می‌گیرند (۴۲)). در مطالعه حاضر، القاء استرس حرارتی در درجه سانتی‌گراد به مدت ۴۵ روز، موجب کاهش جمعیت سلولی اسپرم‌اتوگونی به صورت فعال و غیرفعال در اپتیلیوم لوله‌های می‌شود. بعلاوه، اکثر لوله‌ها به شدت آسیب دیده و تنها تعداد کمی از سلول‌های بنیادی باقی‌مانده بود. در همین راستا، کانتر و همکاران نشان داده‌اند که احتمالاً بیشتر سلول‌های مرده در تنش حرارتی از طریق فاگوسیتوز توسط سلول‌های سرتولی از بین می‌روند (۲۳). در مطالعه‌ای دیگر نشان داده شده است که کاهش چشمگیر در تعداد سلول‌های رده اسپرم‌اتوگونیک وابسته به دما بوده و با افزایش دما تا ۴۳ درجه سانتی‌گراد، آتروفی اپتیلیوم جنسی، توقف کامل اسپرم‌اتوگونی و از بین رفتن کامل اسپرم‌اتوگونی و اسپرم دیده می‌شود (۱۷). با بررسی مورفولوژی لوله‌های اسپرم‌ساز در این مطالعه، تشکیل واکوئل‌ها در لوله‌های اسپرم‌ساز، سلول‌های جنسی با هسته پیکنوze (۴۰)، تخریب پل‌های سیتوپلاسمی بین سینسیشیوم‌ها و در نتیجه تخریب سلول‌های سالم کناری (۴۰) آسیب به بافت بینابینی لوله‌های اسپرم‌ساز (۴۲)، بی‌نظمی و سستی سلول‌های اسپرم‌اتوگونیک، کاهش سلول‌های سرتولی و سلول‌های لیدیگ (۳۰)، خالی شدن لوله‌های اسپرم‌زا از انواع سلول و ناپدید شدن اسپرم‌اتوگونی‌ها، اسپرم‌اتوگونی‌ها (۳۰)، توقف کامل اسپرم‌اتوگونی (۲۸) دیده شد. پژوهش حاضر هم‌راستا

مربوط به سیتوکروم c و در نتیجه آپوپتوز سلول‌های زایا است (۲۱). در این مطالعه نیز ستر NO به دنبال القای تنش حرارتی به مدت ۴۵ روز افزایش را نشان می‌دهد. استفاده از پپتید زیست فعال استخراج شده از ماهی ساردين، به دنبال القاء تنش حرارتی کاهش نسی ستر NO را نشان می‌دهد. علیرغم اینکه انتظار می‌رود آنتی-اکسیدانت‌ها از آسیب اکسیداتیو جلوگیری کرده یا آن را به طور بالقوه کاهش دهن، مصرف کنترل نشده آنها می‌تواند منجر به آسیب شود (۴۷). علی‌رغم تأثیرات مثبت پپتیدهای زیست فعال در سطوح فیزیولوژیکی و سلامت بدن، اثرات منفی و مضر بالقوه پپتیدهای زیست فعال همانند سمیت، آلرژی‌زایی و جهش‌زایی نیز به اثبات رسیده است (۳۴). در این پژوهش نیز استفاده مستمر پپتیدهای زیست فعال بر بافت بیضه اثر سوء نشان داده و منجر به آسیب به بافت بیضه و اختلال روند اسپرماتوژن شده است. همچنین، بررسی‌های پیشین در مورد مصرف آنتی-اکسیدانت‌ها به‌نهایی در موش‌های صحرایی نشان داده است که وجود حد نرمالی از رادیکال‌های آزاد اکسیژن برای عملکرد مناسب این بافت ضروری می‌باشد. این در حالی است استفاده از آنتی‌اکسیدانت‌ها در شرایط نرمال خود به‌نهایی می‌تواند باعث بروز استرس ریداکیتو (Shed and or Oxidative Stress) شده و از عملکرد مناسب بافت بیضه جلوگیری نماید (عو ۳۸).

نتایج این پژوهش نشان داد که درمان موش‌های تحت تنش حرارتی ۴۳ درجه سانتی‌گراد به مدت ۴۵ روز توسط پپتید زیست فعال با دوز ۲۰ میلی‌گرم باعث بهبود آسیب بافت بیضه ناشی از تنش حرارتی می‌شود که این اثرات مثبت به دلیل خواص آنتی‌اکسیدانتی پپتید زیست فعال و توانایی این ماده در از بین بردن رادیکال‌های آزاد تشکیل شده به دنبال ایجاد تنش اکسیداتیو است. درنتیجه استفاده از پپتید زیست فعال به عنوان یک ماده درمانگر جهت بهبود شرایط ناشی از آسیب‌های اکسیداتیو پیشنهاد می‌شود.

جنبهای مختلف باروری تأثیر می‌گذارد (۲۶). افزایش میزان ROS عملکرد آنزیم‌های آنتی‌اکسیدانتی را مهار یا بیان این آنزیم‌ها را کاهش می‌دهد که ممکن است باعث افزایش تنش اکسیداتیو گردد (۱، ۲ و ۴۵)، بررسی‌های تنش حرارتی ناشی از واریکوسل افزایش چشمگیر پارامترهای تنش اکسیداتیو مانند ROS و پراکسیداسیون لیپیدی را نشان داده و در نتیجه بر باروری جنس نر تأثیر می‌گذارد (۵). در سلول‌های جنسی نر، غشای پلاسمایی سرشار از اسیدهای چرب غیراشبع می‌باشد که نسبت به ROS بسیار حساس هستند. MDA و NO محصولات حاصل از ROS هستند که برای بررسی میزان تنش اکسیداتیو بافت بیضه استفاده می‌شوند. افزایش میزان NO باعث القاء آپوپتوز در سلول‌های جنسی می‌شود. بیان بیش از اندازه NO و در نتیجه افزایش آپوپتوز به دنبال القاء کرپتور کیدیسم در آزمایشگاه در موش‌های صحرایی مشاهده شد (۴۸). اخیراً مشخص شده است که NO عملکردهای مختلفی را در سیستم تولید مثلی جنس نر دارد. مکانیسم اصلی آسیب اسپرم ناشی از نیتریک اکساید، مهار تنفس میتوکندریایی و بیوسنتز DNA است. مقدار کم NO برای تحرك اسپرم و بقای آن ضرری است. همچنین بر فعالیت اسپرم موش صحرایی نیز اثر می‌گذارد. در مقابل، افزایش میزان NO، تنفس میتوکندریایی اسپرم را مختل کرده و مانع تحرك اسپرم می‌شود. همچنین میزان کم NO درصد اسپرم‌های ظرفیت-پذیر و واکنش آکروزومی را افزایش داده و به تلقیح اسپرم و تخمک کمک می‌کند. اما اثرات مخرب NO نیز بر فعالیت اسپرم و فرایند لفاح به اثبات رسیده است (۴۵). اثرات مضر NO توسط مولکول‌های فعال بیولوژیکی تولید شده توسط واکنش NO با آئیون سوپراکسید و اسید پراکسی نیتروز ایجاد می‌شود و این ترکیبات آسیب‌های بافتی مختلفی را ایجاد می‌کنند (۷). جریان خون بیضه‌ای را نیز کنترل می‌کند. یکی از مکانیسم‌های آپوپتوزی وابسته به NO از طریق ایجاد اختلال در جریان Bax/Bcl-2 در میتوکندری و فعل شدن مسیر مرگ سلولی

سپاسگزاری

از معاونت پژوهشی دانشگاه ارومیه برای تأمین هزینه این

منابع

- مطالعه تقدير و تشکر می‌شود.
- صحرايى ماده تحت استرس بى حرکتى، مجله پژوهش‌های جانوری، جلد ۳۲، شماره ۱، صفحات ۱۵-۱. تأثیر مخلوط پپتیدهای زیست فعال ماهی ساردين، بر ظرفیت آنتی-اکسیدانتی سرم، پراکسیداسیون چربی‌ها و فراسنجه‌های خونی در موش‌های بزرگ آزمایشگاهی ویستان تحت استرس بى حرکتى، مجله پژوهش‌های جانوری، جلد ۳۰، شماره ۳، صفحات ۲۷۹-۲۸۸.
- 4- Agarwal, A., Hamada, A., and Esteves, S. C., 2012. Insight into oxidative stress in varicocele-associated male infertility: part 1, Nature Reviews Urology, 9, 678 p.
- 5- Agarwal, A., Makker, K., and Sharma, R., 2008. Clinical relevance of oxidative stress in male factor infertility: an update. American journal of reproductive immunology, 59, PP: 2-11.
- 6- Amin, M., Razi, M., Sarrafzadeh Rezaei, F., Shalizar Jalali, A., and Najafi, G., 2018. Berberine inhibits experimental varicocele-induced cell cycle arrest via regulating cyclin D1, cdk4 and p21 proteins expression in rat testicles, Andrologia, 50, e12984 p.
- 7- Amiri, I., Sheike, N., and Najafi, R., 2006. Nitric oxide level in seminal plasma of fertile and infertile males and its correlation with sperm parameters, DARU Journal of Pharmaceutical Sciences, 14, PP: 197-202.
- 8- Babazadeh, M., and Najafi, G., 2017. Effect of chlорpyrifos on sperm characteristics and testicular tissue changes in adult male rats, Veterinary Research Forum, Faculty of Veterinary Medicine, Urmia University, Urmia, Iran, 319 p.
- 9- Bhat, Z., Kumar, S., and Bhat, H. F., 2015. Bioactive peptides from egg: a review, Nutrition Aand Food Science.
- 10- Bisht, S., Faiq, M., Tolahunase, M., and Dada, R., 2017. Oxidative stress and male infertility. Nature Reviews Urology, 14, 470 p.
- 11- Bougatef, A., Nedjar-Arroume, N., Manni, L., Ravallac, R., Barkia, A., Guillochon, D., and Nasri, M., 2010. Purification and identification of novel antioxidant peptides from enzymatic hydrolysates of sardinelle (*Sardinella aurita*) by-products proteins. Food chemistry, 118, PP: 559-565.
- 12- Casao, A., Cebrián, I., Asumpção, M. E., Pérez-Pé, R., Abecia, J. A., Forcada, F., Cebrián-Pérez, J. A., and Muñoz-Blanco, T., 2010. Seasonal variations of melatonin in ram seminal plasma are correlated to those of testosterone and antioxidant enzymes. Reproductive biology and endocrinology, 8, 59 p.
- 13- Chen, H. M., Muramoto, K., Yamauchi, F., and Nokihara, K., 1996. Antioxidant activity of designed peptides based on the antioxidative peptide isolated from digests of a soybean protein, Journal of agricultural and food chemistry, 44, PP: 2619-2623.
- 14- Cocuzza, M., Sikka, S. C., Athayde, K. S., and Agarwal, A., 2007. Clinical relevance of oxidative stress and sperm chromatin damage in male infertility: an evidence based analysis. International braz journal, 33, PP: 603-621.
- 15- Dada, R., Gupta, N. P., and Kucherla, K., 2003. Spermatogenic arrest in men with testicular hyperthermia, Teratogenesis, carcinogenesis, and mutagenesis, 23, PP: 235-243.
- 16- Durairajanayagam, D., Agarwal, A., and Ong, C., 2015. Causes, effects and molecular mechanisms of testicular heat stress, Reproductive biomedicine online, 30, PP: 14-27.
- 17- Durairajanayagam, D., Sharma, R. K., du Plessis, S. S., and Agarwal, A., 2014. Testicular heat stress and sperm quality, Male Infertility. Springer, pp. 105-125.

- 18- Escudero, E., Toldrá, F., Sentandreu, M. A., Nishimura, H., and Arihara, K., 2012. Antihypertensive activity of peptides identified in the *in vitro* gastrointestinal digest of pork meat, *Meat science*, 91, PP: 382-384.
- 19- Fang, Z. Y., Xiao, W., Chen, S. R., Zhang, M. H., Qiu, Y., and Liu, Y. X., 2019. Biologic response of sperm and seminal plasma to transient testicular heating. *Frontiers in bioscience (Landmark edition)*, 24, PP: 1401-1425.
- 20- Gasinska, A., and HILLI, S., 1990. The effect of hyperthermia on the mouse testis. *Neoplasma*, 37, 357 p.
- 21- Guo, J., Jia, Y., Tao, S. X., Li, Y. C., Zhang, X. S., Hu, Z. Y., Chiang, N., Lue, Y. H., Hikim, A. P. S., and Swerdlow, R. S., 2009. Expression of nitric oxide synthase during germ cell apoptosis in testis of cynomolgus monkey after testosterone and heat treatment, *Journal of andrology*, 30, PP: 190-199.
- 22- Harnedy, P. A., and FitzGerald, R. J., 2012. Bioactive peptides from marine processing waste and shellfish: A review. *Journal of functional foods* 4, 6-24.
- 23- Kanter, M., Aktas, C., and Erboga, M., 2013. Heat stress decreases testicular germ cell proliferation and increases apoptosis in short term: an immunohistochemical and ultrastructural study. *Toxicology and industrial health*, 29, PP: 99-113.
- 24- Khosravianian, N., Razi, M., Farokhi, F., and Khosravianian, H., 2014. Testosterone and vitamin E administration up-regulated varicocele-reduced Hsp70-2 protein expression and ameliorated biochemical alterations. *Journal of assisted reproduction and genetics*, 31, PP: 341-354.
- 25- Kianifard, D., 2015. Protective effects of *Morus Alba* (*M. Alba*) extract on the alteration of testicular tissue and spermatogenesis in adult rats treated with Monosodium Glutamate, *Med. Sci*, 4, PP: 1947-1958.
- 26- Kim, B., Park, K., and Rhee, K., 2013. Heat stress response of male germ cells, *Cellular and molecular life sciences*, 70, PP: 2623-2636.
- 27- Kitts, D. D., and Weiler, K., 2003. Bioactive proteins and peptides from food sources. Applications of bioprocesses used in isolation and recovery, *Current pharmaceutical design* 9, PP: 1309-1323.
- 28- Kumar Roy, V., Marak, T. R., and Gurusubramanian, G., 2016. Alleviating effect of *Mallotus roxburghianus* in heat-induced testicular dysfunction in Wistar rats, *Pharmaceutical biology*, 54, PP: 905-918.
- 29- Li, Y., Cao, Y., Wang, F., and Li, C., 2014. Scrotal heat induced the Nrf2-driven antioxidant response during oxidative stress and apoptosis in the mouse testis, *Acta histochemica* 116, PP: 883-890.
- 30- Lin, C., Shin, D. G., Park, S. G., Chu, S. B., Gwon, L. W., Lee, J. G., Yon, J. M., Baek, I. J., and Nam, S. Y., 2015. Curcumin dose-dependently improves spermatogenic disorders induced by scrotal heat stress in mice, *Food and function*, 6, PP: 3770-3777.
- 31- Majd, N. E., Sadeghi, N., Tavalaei, M., Tabandeh, M. R., and Nasr-Esfahani, M. H., 2019. Evaluation of oxidative stress in testis and sperm of rat following induced varicocele, *Urology journal*, 16, PP: 300-306.
- 32- Mazhari, S., Razi, M., and Sadrkhanlou, R., 2018. Silymarin and celecoxib ameliorate experimental varicocele-induced pathogenesis: Evidences for oxidative stress and inflammation inhibition, *International urology and nephrology*, 50, PP: 1039-1052.
- 33- Minas, A., Najafi, G., Jalali, A. S., and Razi, M., 2018. Fennel induces cytotoxic effects against testicular germ cells in mice; evidences for suppressed pre-implantation embryo development, *Environmental toxicology*, 33, PP: 841-850.
- 34- Möller, N. P., Scholz-Ahrens, K. E., Roos, N., and Schrezenmeir, J., 2008. Bioactive peptides and proteins from foods: indication for health effects. *European journal of nutrition*, 47, PP: 171-182.
- 35- Najafian, L., and Babji, A. S., 2012. A review of fish-derived antioxidant and antimicrobial peptides: their production, assessment, and applications, *Peptides*, 33, PP: 178-185.
- 36- Pintus, E., Ros-Santaella, J. L., and Garde, J. J., 2015. Beyond testis size: links between spermatogenesis and sperm traits in a seasonal breeding mammal, *PloS one*, 10.
- 37- Pomponi, S. A., 1999. The bioprocess-technological potential of the sea, *Progress in Industrial Microbiology*, Elsevier, PP: 5-13.
- 38- Rashtbari, H., Razi, M., Hassani-Bafrani, H., and Najarian, H., 2018. Berberine reinforces Sertoli cells niche and accelerates spermatogonial stem cells renewal in experimentally-induced varicocele condition in rats, *Phytomedicine*, 40, PP: 68-78.

- 39- Razi, M., Sadrkhanloo, R. A., Malekinejad, H., and Sarrafzadeh-Rezaei, F., 2012. Testicular biohistochemical alterations following experimental varicocele in rats, Iranian journal of reproductive medicine, 10, 209 p.
- 40- Rockett, J. C., Mapp, F. L., Garges, J. B., Luft, J. C., Mori, C., and Dix, D. J., 2001. Effects of hyperthermia on spermatogenesis, apoptosis, gene expression, and fertility in adult male mice, Biology of reproduction 65, PP: 229-239.
- 41- Sánchez, A., and Vázquez, A., 2017. Bioactive peptides: A review. Food Quality and Safety, 1, PP: 29-46.
- 42- Setchell, B., 2018. The effects of heat on the testes of mammals, Animal Reproduction (AR), 3, PP: 81-91.
- 43- Shamsi-Gamchi, N., Razi, M., and Behfar, M., 2018. Testicular torsion and reperfusion: evidences for biochemical and molecular alterations. Cell Stress and Chaperones, 23, PP: 429-439.
- 44- Sheikh, N., Amiri, I., Najafi, R., and Goodarzi, M. T., 2010. The correlation between total antioxidant capacity and nitric oxide concentration in seminal plasma with sperm DNA damage. African Journal of Biotechnology, 9 p.
- 45- Sikka, S. C., 2001. Relative impact of oxidative stress on male reproductive function, Current medicinal chemistry, 8, PP: 851-862.
- 46- Talebi, A., Alimehr, M., Alavi, M. H., Najafi, G., and Simaei, N., 2018. Comparative study of semen traits and histomorphometric features of testes of broiler breeder males with different phenotypic traits, Veterinary Research Forum, Faculty of Veterinary Medicine, Urmia University, Urmia, Iran, 1 p.
- 47- Wagner, H., Cheng, J. W., Ko, E. Y., 2018. Role of reactive oxygen species in male infertility: An updated review of literature, Arab journal of urology, 16, PP: 35-43.
- 48- Wechalekar, H., 2015. Direct and indirect effects of whole body heat exposure on germ cells and spermatozoa.
- 49- Weinbauer, G. F., Luetjens, C. M., Simoni, M., and Nieschlag, E., 2010. Physiology of testicular function, Andrology, Springer, PP: 11-59.
- 50- Zeng, M., Dong, S., Zhao, Y., and Liu, Z., 2013. Antioxidant activities of marine peptides from fish and shrimp, Marine Proteins and Peptides: Biological Activities and Applications, PP: 449-466.
- 51- Zhou, S., and Decker, E. A., 1999. Ability of amino acids, dipeptides, polyamines, and sulfhydryls to quench hexanal, a saturated aldehydic lipid oxidation product, Journal of agricultural and food chemistry, 47, PP: 1932-1936.
- 52- Zini, A., Abitbol, J., Schulsinger, D., Goldstein, M., and Schlegel, P. N., 1999. Restoration of spermatogenesis after scrotal replacement of experimentally cryptorchid rat testis: assessment of germ cell apoptosis and eNOS expression, Urology, 53, PP: 223-227.

Effect of Sardine- driven (*Sardinella sp.*) Bioactive peptides on seminiferous tubules Following Heat Stress Induction in Mature Male Rat

Valizadeh M.,¹ Nejati V.,¹ Shalizar-Jalali A.,² Najdgerami E.H.¹ and Najafi Gh.²

¹ Dept. of Biology, Faculty of Sciences, Urmia University, Urmia, I.R. of Iran.

² Dept. of Basic Sciences, Faculty of Veterinary Medicine, Urmia University, Urmia, I.R. of Iran.

Abstract

Damage due to thermal stress in the testicles is one of the causes of infertility in men and most of the mammals. Bioactive peptides have potent antioxidant activity against free radicals and reactive oxygen species. In this study, animals were randomly categorized into 6 groups; group 1 served as a control(22 °C), group 2 was a bioactive peptide(10 mg kg⁻¹ day, oral gavage, respectively) , group 3 was a heat-stressed (43 °C), groups 4,5 and 6 were heat-stressed(43 °C) along with bioactive peptides (5, 10 and 20 mg kg⁻¹ day, oral gavage, respectively). After treatment (45 days), the testes were separated for histological and biochemical studies. Histopathological analysis revealed severe testicular damage following heat stress induction. Heat stress increased nitric oxide significantly($P < 0.05$). In the heat-stressed rats treated with 5 and 10 mg / kg bioactive peptide, no improvement was observed. Treatment of animals with 20 mg / kg showed positive effects on spermatogenesis and seminiferous tubules structure. The results of nitric oxide analysis showed a decrease in this biochemical factor following peptide treatment at a dose of 20 mg / kg($P < 0.05$). The results of this study showed the antioxidant effects of sardine-derived bioactive peptide on tissue and biochemical markers of testicular tissue.

Key words: heat stress, oxidative stress, antioxidants, male reproductive system, rat